

Elektromagnetischer Feldterror

1. Nützliches Wissen $\operatorname{rot} E \equiv 0$

Stromdichte $\vec{j}(\vec{r}) = \rho(\vec{r})\vec{v}(\vec{r})$

Elektrostatik heißt $\frac{\partial \vec{B}}{\partial t}=0$, $\vec{j}=0$ und Magnetostatik $\frac{\partial \vec{B}}{\partial t}=0$ sonst spricht man von Elektrodynamik

1.1. Konstanten

Lichtgeschwind.	$c = \frac{1}{\sqrt{\varepsilon_0 \mu_0}} = 299792458 \mathrm{m s}^{-1}$
Elektr. Feldkonst.	$\varepsilon_0 = 8.854188 \times 10^{-12} \mathrm{F} \mathrm{m}^{-1}$
Magn. Feldkonst.	$\mu_0 = 4\pi \times 10^{-7} \mathrm{H}\mathrm{m}^{-1}$

1.2. Mathematik

x	0	$\pi/6$	$\pi/4$	$\pi/3$	$\pi/2$	§π	$\frac{3}{4}\pi$	$\frac{5}{6}\pi$	π	$\frac{3}{2}\pi$	2π
sin	0	$\frac{1}{2}$	$\frac{1}{\sqrt{2}}$	$\frac{\sqrt{3}}{2}$	1	$\frac{\sqrt{3}}{2}$	$\frac{1}{\sqrt{2}}$	$\frac{1}{2}$	0	-1	0
cos	1	$\frac{\sqrt{3}}{2}$	$\frac{1}{\sqrt{2}}$	$\frac{1}{2}$	0	$-\frac{1}{2}$	$-\frac{1}{\sqrt{2}}$	$-\frac{\sqrt{3}}{2}$	-1	0	1
$_{\mathrm{tan}}$	0	$\frac{\sqrt{3}}{3}$	1	$\sqrt{3}$		$-\sqrt{3}$	-1	$-\frac{1}{\sqrt{3}}$	0		0
	1. 1. 1. O to Delevie and to a tom.										

 $z = r(\cos(\varphi) + \mathbf{i}\sin(\varphi)) = r \cdot e^{\mathbf{i}\varphi}$

$$r = |z| = \sqrt{a^2 + b^2} \quad \varphi = \arg(z) = \begin{cases} +\arccos\left(\frac{a}{r}\right), & b \geq 0 \\ -\arccos\left(\frac{a}{r}\right), & b < 0 \end{cases}$$

 $\begin{array}{ll} \text{Multiplikation:} & z_1 \cdot z_2 = r_1 \cdot r_2(\cos(\varphi_1 + \varphi_2) + i\sin(\varphi_1 + \varphi_2)) \\ \text{Division:} & \frac{z_1}{z_1} = \frac{r_1}{r_2}(\cos(\varphi_1 - \varphi_2) + i\sin(\varphi_1 - \varphi_2)) \\ & = \frac{r_1}{r_2} \frac{1}{r_2} \frac{1}$

n-te Potenz: $z^n=r^n\cdot e^{n\varphi\mathbf{i}}=r^n(\cos(n\varphi)+\mathbf{i}\sin(n\varphi))$ n-te Wurzel: $\sqrt[n]{z}=z_k=\sqrt[n]{r}\left(\cos\left(\frac{\varphi+2k\pi}{n}\right)+\mathbf{i}\sin\left(\frac{\varphi+2k\pi}{n}\right)\right)$ $k = 0, 1, \dots, n - 1$

Logarithmus: $\ln(z) = \ln(r) + \mathbf{i}(\varphi + 2k\pi)$ (Nicht eindeutig!)

1.3. Maxwellsche Gleichungen (Naturgesetze)

Gaußsches Gesetz (inhom.)	Faradaysches ind. Gesetz
$\operatorname{div} \vec{D} = \rho$	$\operatorname{rot} \vec{E} = -\frac{\partial \vec{B}}{\partial t}$
a 2	$\partial t = \partial t$
Quellfreiheit des magn. Feldes	Ampèrsches Gesetz (inhom.)
$\operatorname{div} \vec{B} = 0$	$rot \vec{H} = \vec{j} + \frac{\partial \vec{D}}{\partial t}$

Zusammen mit Materialgleichungen bildet (\vec{E}, \vec{H}) ein 6 komponentiges Elektromagnetisches Feld

Induktiv

1.4. Materialgleichungen In linearen, räumlich und zeitlich homogenen Medien: $\vec{D} = \epsilon \vec{E}$; $\vec{H} = \frac{1}{n} \vec{B}$; Ohmsches Gesetz: $\vec{j} = \sigma \vec{E}$

Kapazitiv

1.5. Bauteilgleichungen

Resistiv

dI = G dU	dQ = C dU	$\mathrm{d}\Phi_M = L\mathrm{d}I$
$\vec{j} = \sigma \vec{E}$	$\vec{D} = \varepsilon \vec{E}$	$\vec{B} = \mu \vec{H}$
$\mathrm{d}I = \vec{j}\mathrm{d}A$	$\mathrm{d} U = \vec{E} \mathrm{d} \vec{r}$	$\mathrm{d}\Phi_M = \vec{B}\mathrm{d}A$
$\vec{j} = q n \vec{v}$	$Q(V) \equiv \iint\limits_{\partial V} \vec{D} \mathrm{d}$	\vec{A} $I(A) \equiv \oint_{\partial A} \vec{H} c$
Widerst. $R = \rho$	$\frac{1}{A}$ Kondens. $C = \frac{Q}{U}$	$= \varepsilon \frac{A}{d}$ Spule $L = \mu A \frac{\Lambda}{d}$
	$W_{el} = \frac{1}{2}CU^2$	
$\circ \hspace{-1pt} - $	\longrightarrow	⊶ ~~•
	D-Feld	H-Feld
Durchflutung	$ \oint_{\partial V} \vec{D} \cdot d\vec{a} \equiv Q(V) 4\pi r^2 D(r) = Q(V) $	$\oint_{\partial A} \vec{H} \cdot d\vec{r} = I(A)$
Vereinfacht	$4\pi r^2 D(r) = Q(V)$	$2\pi r H(r) = I(A)$
Material	$\vec{E} = \frac{\vec{D}}{-}$	$\vec{B} = \mu \vec{H}$
Divergenz	$\operatorname{div} \vec{D} = \rho$	$\operatorname{div} \vec{B} = 0$
Rotation	$\operatorname{rot} \vec{E} + \frac{\partial \vec{B}}{\partial t} = 0$	$\operatorname{rot} \vec{H} = \vec{j} + \frac{\partial \vec{D}}{\partial t}$

1.6. Formeln der Elektrostatik

Coulombsches Gesetz: $\vec{F} = \frac{q}{4\pi\varepsilon} \sum_{i=1}^{N} \frac{q_i(\vec{r} - \vec{r}_i)}{|\vec{r} - \vec{r}_i|^3}$

Elektrische Feldstärke: $\vec{E} = \frac{\vec{F}}{q}$ rot E = 0

Elektrostatische Felder sind konservativ $\Leftrightarrow U = \Phi(P_1) - \Phi(P_2) =$

 $\int_{-\infty}^{\infty} \vec{E} d\vec{r}$ ist wegunabhängig

Potential: $\Phi(\vec{r}) = \frac{1}{4\pi\varepsilon} \sum_{i=1}^{N} \frac{q_i}{|\vec{r} - \vec{r}_i|}$

Poissongleichung: $\operatorname{div}(\varepsilon \operatorname{grad}(\Phi)) = -\varrho \operatorname{mit} \vec{E} = -\operatorname{grad} \Phi$ Oberflächenladungsdichte: $\sigma = \vec{D} \cdot \vec{N}$

Energie: $W_{12} = \int_C \vec{F} d\vec{r} = q \cdot U_{12}$ Energiedichte: $w_{el} = \frac{1}{2} \vec{E} \vec{D}$

1.7. Formeln zu stationären Strömen

$$I = rac{dQ}{dt} = \int\limits_{A} ec{j} dec{a}$$
 mit Stromdichte $ec{j} = qn ec{v} = |q| \, n\mu ec{E}$

Ohmsches Gesetz: $\vec{j} = \sigma \vec{E}$ U = RI mit $R = \frac{1 \cdot l}{\sigma \cdot A}$ Verlustleistungs(dichte): $p_{\rm el} = \vec{j} \vec{E} \quad P = UI$ Ladungsbilanzglg. (int, diff): $\int_{\partial V} \vec{j} d\vec{a} = -\frac{dQ(V)}{dt}$ div $\vec{j} + \frac{\partial \varrho}{\partial t} = 0$

1.8. Formeln der Magnetostatik

Lorentzkraft(dichte): $\vec{F}_L = q \cdot (\vec{v} \times \vec{B}) \quad \vec{f}_L = \vec{j} \times \vec{B}$ Elektromagnetische Kraft: $\vec{F}_{em} = q \cdot (\vec{E} + \vec{v} \times \vec{B})$ Drehmoment einer Leiterschleife: $\vec{M} = I\vec{A} \times \vec{B} = \vec{m} \times \vec{B}$

1.9. Formeln zur Induktion

Magnetischer Fluss: $\Phi_{\mathrm{mag}} = \int_A \vec{B} d\vec{a}$ Bewegungsinduktion: $U_{\text{ind}} = -\frac{d\Phi_{\text{mag}}}{dt}$

Ruheinduktion: $U_{\rm ind} = -\int_{A(t)} \frac{\partial \vec{B}}{\partial t} d\vec{a} + \int_{\partial A(t)} (\vec{v} \times \vec{B}) d\vec{r}$

1.10. Integralgleichungen

nach Satz von Gauß:
$$\int\limits_{\partial V} \vec{D} d\vec{a} = \int\limits_{V} \operatorname{div} \vec{D} d^3 r$$

$$\int\limits_{\partial V} \vec{H} d\vec{r} = \int\limits_{A} \operatorname{rot} \vec{H} d\vec{a}$$

$$\int\limits_{\partial A} \vec{H} d\vec{r} = \int\limits_{A} \operatorname{rot} \vec{H} d\vec{a}$$

1.11. Durchflutungsgesetze:

$$\iint\limits_{\partial V} \vec{D} \cdot \mathrm{d}\vec{a} \equiv Q(V)$$

$$\oint\limits_{\partial A} \vec{H} \cdot d\vec{r} = I(A) = \int\limits_{A} \vec{j} \, d\vec{a}$$

 $\operatorname{div}(\varepsilon \cdot \operatorname{grad}(\Phi)) = -\rho$

2. Das elektrische Feld

- Wird erzeugt von Ladung oder sich veränderndes Magnetfeld Innerhalb eines idealen Leiters ist das E-Feld Null(Influenz).
- Die Feldlinien stehen immer senkrecht auf eine Leiteroberfläche.
- Die Feldlinien laufen von positiven zu negativen Ladungen. Bei Kugelladungen sinkt das E-Feld radial mit $\frac{1}{2}$
- Bei unendlicher Linienladung sinkt das E-Feld radial mit $\frac{1}{2}$
- 7. Bei unendlicher Flächenladung bleibt das E-reid radial mit. \bar{r} 7. Bei unendlicher Flächenladung bleibt das E-Feld konstant. \bar{d} 8. Feldlinien verlaufen lieber in hohem ε_T \vec{H} d \vec{r} Spezialfall zylindrischer Leiter: $\phi = -\frac{Q}{2\pi\epsilon l} \ln(\frac{r}{r_0}) + c$

2.1. Elektrische Energiedichte Energie die in einem Bereich nötig ist, um alle Ladungen aus dem unendlichen an ihre Position zu bewegung.

$$W_{el} = \sum_{k=2}^{N} \Delta W_{el}^{(k)} = \frac{1}{8\pi\epsilon} \sum_{i,k=1}^{N} \frac{q_i q_k}{|\vec{r}_i - \vec{r}_k|}$$

$$\iiint\limits_{V} \iiint\limits_{V} \frac{\rho(\vec{r})\rho(\vec{r}')}{|\vec{r}-\vec{r}'|} d^3r d^3r'$$

$$\begin{aligned} & \text{Substitutions regel:} \\ & q_i = \text{d}Q(\vec{r}_i) = \rho(\vec{r}_i) \, \text{d}V \\ & \sum_{i=1}^{N} \{\vec{r}_i...\}q_i \rightarrow \coprod_{V} \{\vec{r}_i...\}\rho(\vec{r}) \, \text{d}V \end{aligned}$$

$$\delta W_{el} = \iiint\limits_V \Phi(\vec{r}) \delta \varrho(\vec{r}) \, \mathrm{d}^3 r = \iiint\limits_V \vec{E} \cdot \delta \vec{D} \, \mathrm{d}^3 r$$

	Elektrisch	Magnetisch
	$\delta w_{el} = ec{E} \cdot \delta ec{D}$	$\delta w_{mag} = \vec{H} \cdot \delta \vec{B}$
Energiedichte:	$w_{el} = \int\limits_{0}^{\vec{D}} \vec{E}' \mathrm{d}\vec{D}'$	$w_{mag} = \int\limits_0^{ec{B}} ec{H}' \mathrm{d} ec{B}'$
Falls		

 $w_{\rm el} = \frac{1}{2} \vec{E} \vec{D} = w_{\rm mag} = \frac{1}{2} \vec{H} \vec{B} = \frac{\varepsilon}{2} \vec{E}^2 = \frac{1}{2\varepsilon} \vec{D}^2 = \frac{\mu}{2} \vec{H}^2 = \frac{1}{2\mu} \vec{B}^2$ $\varepsilon = \text{const.}$ $\mu = \text{const.}$

Energie:

Leistung: $P_{\mathsf{em}} = \int_V \Pi_{\mathsf{em}} \, \mathrm{d}V = \overline{-\iint \vec{j}(\vec{r}) \cdot \vec{E}(\vec{r}) \, \mathrm{d}V}$

Energie eines Teilchens beim durchlaufen einer Spannung: $E=U\cdot Q$ Energie des el. Feldes im Plattenkondensator: $E=\frac{1}{2}EDV=\frac{1}{2}UQ$

2.3. Elektromagnetisches Feld

Poynting Vektor: $\vec{S} := \vec{E} \times \vec{H}$

Leistungsflussdichte: $\vec{J}_{\rm elmag} = \vec{E} \times \vec{H} + \vec{S}_0 \; (\vec{S}_0 = 0, \, {\rm falls} \; {\rm voneinander} \;$ unabhängige Quellen)

Extensive Größe X besitzt eine Volumendichte $x(\vec{r},t)$, so dass für jedes Kontrollvolumen $V \subset \mathbb{R}^3$ gilt: $X(V) = \int_V x(\vec{r}, t) dV$ Extensive Größe ist eine Größe die man abzählen kann.

Beispiele für extensive Größen:

phys. Größe	X	Volumendichte	x
Ladung	Q	Ladungsdichte	ϱ_{el}
Masse	m	Massendichte	ϱ_m
Teilchenzahl	N	Konzentration	n
Energie	W	Energiedichte	w
V hasiana Cananadiaha	$\vec{I} = (\vec{n}, t)$	mit $V = \vec{I} \cdot (\vec{\sigma} t) d\vec{\sigma}$	

X besitzt Stromdichte $J_{X}(\vec{r},t)$ mit $X=J_{X}(\vec{r},t)\,\mathrm{d}\vec{a}$ X hat Produktionsrate $\Pi_X(\vec{r},t)$ für Zeit und Volumen

$$\mbox{Bilanzgleichung:} \boxed{ \frac{\mathrm{d}X(V)}{\mathrm{d}t} = -\int\limits_{\partial V} \vec{J}_X \; \mathrm{d}\vec{a} + \int\limits_{V} \Pi_X \; \mathrm{d}V }$$

 $\frac{\partial x}{\partial t} + \mathop{\mathrm{div}}_{\text{Zu-/Abfluss}} \vec{J}_X = \Pi_X$ Akkummulationsrate Differentielle Form:

Elektronen
$$\frac{\partial n}{\partial t} = -\operatorname{div} \vec{J}_n + G_n$$

Löcher
$$\frac{\partial p}{\partial t} = -\operatorname{div} \vec{J}_p + G_p$$
 mit $G_n = G_p$

Energiebilanz des El.mag.-Feldes:

$$\frac{\partial w_{em}}{\partial t} + \operatorname{div} \vec{J}_{em} = \Pi_{em}$$

 $\begin{array}{c|c} & \\ \hline {\rm mit} \; w_{em} = w_{el} + w_{mag}; \; \vec{J}_{em} = \vec{E} \times \vec{H} + \vec{S}_0, \; {\rm mit} \; div \vec{S}_0 = 0 \\ \Pi_{em} = -\vec{j} \cdot \vec{E} \end{array}$

3. Potentialtheorie

Elektromagnetisches Vektorpotential $| \vec{A}(\vec{r}, t) : \vec{B}(\vec{r}, t) = \text{rot } \vec{A}(\vec{r}, t)$

Elektromagnetisches Skalarpotential $\Phi: \vec{E}(\vec{r},t) = -\nabla\Phi - \frac{\partial \vec{A}}{\partial t}(\vec{r},t)$

Umeichen: $\vec{A}' = \vec{A} - \nabla \chi$ $\Phi' = \Phi + \dot{\chi}$

Eichfunktion: Riemansche Räume haben an jedem Punkt ein anderes Längenmaß. Die Eichfunktion gibt an, welches Längenmaß an welchem Punkt verwendet werden muss.

3.1. Maxwell Gleichungen in Potentialdarstellung

$$\operatorname{div}(\varepsilon \nabla \Phi) + \frac{\partial}{\partial t} \operatorname{div}(\varepsilon \vec{A}) = -\varrho$$
$$\operatorname{rot}(\frac{1}{\mu} \operatorname{rot} A) + \varepsilon \frac{\partial^2 \vec{A}}{\partial t^2} + \varepsilon \nabla \frac{\partial \Phi}{\partial t} = \vec{j}$$

Lorenzeichung:
$$\operatorname{div} \vec{A} + \varepsilon \mu \frac{\partial \Phi}{\partial t} =$$

⇒ Wellengleichungen:

Coulombeichung: $\operatorname{div} A = 0$

⇒ Wellengleichungen:

 $\operatorname{div}\left(\varepsilon\nabla\Phi(\vec{r},t)\right) = -\rho(\vec{r},t)$ (Poisson) $\Delta \vec{A} - \epsilon \mu \frac{\partial^2 \vec{A}}{\partial x^2} = -\mu \left(\vec{j} - \epsilon \frac{\partial}{\partial t} (\nabla \Phi) \right)$

Homogene Wellengleichungen: \vec{E} -Feld: $\epsilon\mu\frac{\delta}{\delta t^2}\vec{E}(\vec{r},t) - \Delta\vec{E}(\vec{r},t) = \vec{0}$

 \vec{B} -Feld: $\epsilon \mu \frac{\vec{\delta}}{\vec{\delta}+2} \vec{B}(\vec{r},t) - \Delta \vec{B}(\vec{r},t) = \vec{0}$

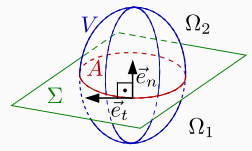
Elektromagn. Skalarpot. $\Phi(\vec{r}, t)$ folgt $\rho(\vec{r}, t)$ ohne Verzögerung!

NF Anteil: $-\nabla \Phi$ HF Anteil: $\frac{\partial \vec{j}}{\partial t}$

Transversale Stromdichte: $\vec{j}_t = \vec{j} - \varepsilon \frac{\partial \nabla \Phi}{\partial t}$

Biot-Savart Gesetz für konstanten, homogenen Strom: $\vec{H}(\vec{r}) = \frac{I}{4\pi} \int_{\gamma} \frac{d\vec{r} \times (\vec{r} - \vec{r}')}{|\vec{r} - \vec{r}'|^3}$

3.2. Feldverhalten an Materialgrenzen



Sprungbedingung für die Normalenableitung des Potentials:

$$\epsilon_1 \frac{\partial \Phi}{\partial n} \big|_1 - \epsilon_2 \frac{\partial \Phi}{\partial n} \big|_2 = \sigma_{\text{int}} \text{ auf } \Sigma$$

An Grenzflächen gibt es Flächenladung σ : $Q = \lim_{k \to 0} \int_{V} \rho \, dV = \int_{A} \sigma \, d\vec{a}$

Die Tangentialkomponente des E-Feldes und die Normalkomponente des B-Feldes sind stetig

$$\begin{split} \vec{D}_{2}\vec{n} - \vec{D}_{1}\vec{n} &= \sigma_{\text{int}} \\ \vec{B}_{2}\vec{n} - \vec{B}_{1}\vec{n} &= 0 \\ \vec{E}_{1} \times \vec{n} - \vec{E}_{2} \times \vec{n} &= 0 \\ \vec{H}_{2} \times \vec{n} - \vec{H}_{1} \times \vec{n} &= \vec{i} \end{split}$$

Brechungsgesetz für elektrische Feldlinien (2 Isolatoren):

$$\frac{\tan \alpha_1}{\tan \alpha_2} = \frac{\varepsilon_1}{\varepsilon_2}$$

Gleiches gilt für $\vec{j}=0$ auch für das \vec{B} bzw. \vec{H} -Feld

3.3. Randwertprobleme der Potentialtheorie Homogenes Randwertproblem: Beide Grenzen haben Potential 0.

Zu lösen ist die Poisson-Gleichung $\operatorname{div}(\varepsilon \nabla \Phi) = -\rho$ auf Ω :

RWP Randbedingungen auf $\partial\Omega$ Lösung

Dirichlet $\Phi|_{\partial\Omega} = \Phi_D$

Neumann $\frac{\partial \Phi}{\partial \vec{n}}\Big|_{\partial \Omega} = F_N$

eindeutig $(\Phi + C) \in \mathcal{C}^2$ $\left. \left(\Phi + k \frac{\partial \Phi}{\partial \vec{n}} \right) \right|_{\partial \Omega} = F_N \quad \text{eindeutig } \Phi \in \mathcal{C}^2$

 $\begin{array}{ccc} & & & & & & & \\ & & & & & & \\ \text{Mit} & \text{Richtungsableitung} & \frac{\partial \Phi}{\partial \vec{n}} \Big|_{1/2} & = & \lim_{\vec{r} - \vec{r_0} \rightarrow 0} \vec{n}(\vec{r_0}) & \cdot & \nabla \Phi(\vec{r}) \end{array}$

Lösungsansatz: $\Phi = \Phi^{(0)} + \varphi$ $\Phi^{(0)}$: erfüllt hom. DGL und inhom. RB φ : erfüllt inhom. DGL und hom. RB

In den meisten Elektrostatischen Problemen gilt $\rho=0$, da sich die Ladung nur auf den Grenzflächen von Leitern befindet und nicht im Gebiet Ω in dem die Lösung von Φ gesucht wird.

In der Praxis sind die meisten RWPs gemischt, wie Leiterkontakte oder Wärmeleitung

Mehrelektroden-Kondensator Q-RWP:

 $\operatorname{div}(\varepsilon \nabla \Phi) = 0$ in $\overset{\circ}{\Omega}$ und $\int_{\partial \Omega_l} \varepsilon \frac{\partial \Phi}{\partial \vec{n}} \, \mathrm{d}\vec{a} = Q_l$ und besitz bis auf eine additive Konstante eine eindeutige Lösung

3.3.1. Spektralzerlegung

- 1. Ansatz: $\Phi = \Phi^{(0)} + \varphi$ Finde hinreichend glatte Funktion $\Phi^{(0)}$ welche inhomogene Randgleichungen erfüllt
- 2. Finde Eigenfunktionen von φ : $f = -\operatorname{div}(\varepsilon \nabla \vec{b}_{\nu}) = \lambda_{\nu} \vec{b}_{\nu}$ Es gilt $\lambda_{\nu} > 0$.
- 3. Ansatz $\varphi(\vec{r}) = \sum_{\nu=1}^{\infty} \alpha_{\nu} b_{\nu}(\vec{r})$ Bestimmung der Entwicklungskoeffizienten: $a_{\nu} = \frac{\langle b_{\nu} | f \rangle}{\lambda_{\nu}} =$
- 4. Spektraldarstellung: $G(\vec{r}, \vec{r}') = \sum_{\nu=1}^{\infty} b_{\nu}(\vec{r}) \frac{1}{\lambda_{\nu}} b_{\nu}(\vec{r}')^*$

3.4. Greenfunktion G Def: Lösung des RWP mit hom. Randbed. und Störung $\rho(\vec{r}) = \delta(\vec{r} - \vec{r}')$

(Einheitspunktladung bei \vec{r}') Poissongleichung $\Delta \varphi = -\frac{\rho}{\varepsilon_0}$ wird durch das Coulomb-Integral gelöst.

Allg. Lösung: $\Phi(\vec{r})=\varphi(\vec{r})+\psi(\vec{r})=\int_{\Omega}G(\vec{r},\vec{r}')\rho(\vec{r}')\,\mathrm{d}^3\vec{r}'+\psi(\vec{r})$ $\text{ für } \varepsilon(\vec{r}) \; = \; \varepsilon \colon \psi(\vec{r}) \; = \; -\varepsilon \, \iint_{\partial V(D)} \left[\frac{\partial G(\vec{r},\vec{r}')}{\partial \vec{n}'} \Phi_D(\vec{r}') \right] \, \mathrm{d}a' \; + \;$

 $\varepsilon \iint_{\partial V} \left[G(\vec{r}, \vec{r}') \frac{\partial \Phi_N(\vec{r}')}{\partial n'} \right] da'$

Beispiel Punktladung: $G_{\text{Vac}}(\vec{r}, \vec{r}') = \frac{1}{4\pi\varepsilon} \frac{1}{\|\vec{r} - \vec{r}'\|}$

3.4.1. Spektralzerlegung mit Greenfunktion

Problem: $-\Delta \varphi = \tilde{f}$

- Sperationsansatz für die Eigenfunktionen: $b(\vec{r}) = b_1(x_1)b_2(x_2)b_3(x_3)$
- $-\frac{b_1''(x_1)}{b_1(x_1)} \frac{b_2''(x_2)}{b_2(x_2)} \frac{b_3''(x_3)}{b_3(x_3)} = \lambda$ Aufteilen des Problems:
- $-\frac{b_1''(x_1)}{b_1(x_1)} = \lambda_1$ $-\frac{b_1''(x_2)}{b_2(x_2)} = \lambda_2$ $\frac{b_3''(x_3)}{b_3(x_3)} = \lambda_3$
- Lösungsansatz für b_1, b_2, b_3 :
- $\begin{array}{l} b_j(x_j) = A_j \sin(k_j x_j) + B_j \cos(k_j x_j) \text{ mit } k_j = \sqrt{\lambda_j} \\ \bullet \Rightarrow B_j = 0 \text{ und } k_j L_j = n_j \pi \end{array}$
- Eigenfunktionen lauten:
- $b_j(x_j) = A_j \sin(n_j \frac{\pi}{L_j} x_j)$
- Normiere die Eigenfunktionen

$1 \stackrel{!}{=} \int_{0}^{L_k} b_j(x_j)^2 \, \mathrm{d}x_j$

Die Greenfunktion lautet nun: $G(\vec{r},\vec{r}') = \sum_{n_1,\,n_2,\,n_3 \in \mathbb{N}} b_{n_1 n_2 n_3}(\vec{r}) \frac{1}{\lambda_{n_1} \lambda_{n_2} \lambda_{n_3}} b_{n_1 n_2 n_3}(\vec{r}')$

Spiegelladungsmethode Konstruktion eines Ersatzproblems durch Spiegelung der negierten Ladung an einer ebenen leitenden Randfläche

$$G_{\mathsf{Halb}}(\vec{r},\vec{r}_0) = \frac{1}{4\pi\varepsilon} \left(\frac{1}{\|\vec{r}-\vec{r}_0\|} - \frac{1}{\|\vec{r}-\vec{r}_0^*\|} \right)$$

analog für Winkelräume. Eventuell müssen die gespiegelten Ladungen wieder gespiegelt werden (möglicherweise unendlich oft), bis sich alles aus-

Multipolentwicklung

Coulomb-Integral: $\Phi(\vec{r}) = \int_{\mathbb{R}^3} G_{\text{vac}}(\vec{r}, \vec{r}') \rho(\vec{r}') \, \mathrm{d}^3 \vec{r}' =$

 $\Phi(\vec{r}) = \frac{1}{4\pi\varepsilon_0} \frac{1}{r} Q + \frac{1}{4\pi\varepsilon_0} \frac{\vec{r} \cdot \vec{p}}{r^3} \mp \dots$

3.5. Stationäre Ströme und RWP

Drift-Diffusionsmodell:

$$\vec{j} = \sum_{\alpha=1}^{N} |q_{\alpha}| n_{\alpha} \mu_{\alpha} \vec{E} \qquad -\sum_{\alpha=1}^{N} q_{\alpha} D_{\alpha} \nabla n_{\alpha} + \\ \text{Driftstrom} \qquad \qquad \text{Diffusionsstrom}$$

$$+ \sum_{\alpha=1}^{N} \sigma_{\alpha} R_{\alpha}^{H} \vec{j}_{\alpha} \times \vec{B} \qquad -\sum_{\alpha=1}^{N} \sigma_{\alpha} P_{\alpha} \nabla T \\ \text{Halleffekt} \qquad \qquad \text{Seebeck}$$

$$-\sum_{\alpha=1}^{N} \sigma_{\alpha} P_{\alpha} \nabla T$$

4. Orthogonalreihenentwicklung

Was möchten wir lösen? Poisson ($\Delta\Phi(\vec{r})=-rac{
ho(\vec{r})}{\epsilon}$) oder Spezialfall

Lapi	lace $(\Delta \Phi)$	$\tilde{r} = 0$).	
		Poisson $(\rho \neq 0)$	Laplace ($\rho=0$)
	mogene andwerte	$\begin{split} \Phi &= \coprod\limits_V G(\vec{r},\vec{r}') \rho(\vec{r}') d^3 r \\ \varphi &: \text{Greenfunktion lösen für} \\ \text{Ergebnis und Orthogonal-} \\ \text{reihenentwicklung} \end{split}$	$\Phi = 0$
	nomogene andwerte	Ansatz: $\Phi = \varphi + \psi$ (Randwertprobleme) ψ : Dirichlet/Neumann RWB, φ : Greenfunktion	Orthogonal- reihenentwicklung

4.1. φ bestimmen Laplaceoperator: lineare Summe von gewichteten Teillösungen ist wieder

 \Rightarrow Ansatz: $\Phi(\vec{r}) = \sum_{n=1}^{\infty} \alpha_n b_n(\vec{r})$ (α_n : Gewichtung, b_n : Eigenfunkti-

on von
$$\Delta$$
: $f'' = bf$)
$$\Delta b_n(\vec{r}) = \begin{cases} \lambda_n b_n(\vec{r}), & \text{Poisson} \\ 0, & \text{Laplace} \end{cases}$$

$$\Rightarrow \Delta\Phi(\vec{r}) = \begin{cases} \sum\limits_{n=1}^{\infty} a_n \lambda_n b_n(\vec{r}) = -\frac{\rho}{\epsilon}, & \text{Poisson} \\ 0, & \text{Laplace} \end{cases}$$

Seperationsansatz: $\Delta b_n(\vec{r})$ lösen

- 1. $b_n(\vec{r}) = b_1(x)b_2(y)b_3(z) = X(x)Y(y)Z(z)$
- 2. in den Ansatz einsetzen → gewöhnliche DGL
- 3. Randwerte einsetzen → mit homogenen RW anfangen
- 4. Konstanten zusammenfassen ightarrow z.B. $A_n \cdot B_n \mapsto \bar{A}_n$

4.2. Lösen von Poisson-Gleichung $-\Delta b_n = \lambda_i b_n$ mit $b_n = b_1(x)b_2(y)b_3(z)$

$$-b_1''b_2b_3 - b_1b_2'b_3 - b_1b_2b_3'' = \lambda_ib_1b_2b_3$$
$$-\frac{b_1''}{b_1} - \frac{b_2''}{b_2} - \frac{b_3''}{b_3} = \lambda_i \Rightarrow \frac{-b_i''(x_i)}{b_i(x_i)} = \lambda_i$$

$$\begin{array}{l} \Rightarrow b_i''(x_i) + b_i(x_i)\lambda_i \stackrel{!}{=} 0 \qquad \text{(1)} \\ \text{Ansatz für DGL:} \ \ b_i(x_i) = A_i \sin(x_i k_i) + B_i \cos(x_i k_i) \quad \text{in (1)} \\ \frac{\partial^2}{\partial x_i^2} (A_i \sin(k_i x_i) \ + \ B_i \cos(k_i x_i)) \ + \ \lambda_i (A_i \sin(k_i x_i) \ + \ A_i (A_i \sin(k_i x_i)) \ + \ A_i (A_i \cos(k_i x$$

$$B_i cos(k_i x_i)) \stackrel{!}{=} 0$$

 $(A_i sin(k_i x_i) + B_i cos(k_i x_i))(\lambda_i - k_i^2) \stackrel{!}{=} 0$

$$\begin{array}{l} (A_i \sin(k_i x_i) + B_i \cos(k_i x_i))(\lambda_i - k_i) = 0 \\ \Rightarrow \lambda - k_i^2 = 0 \Leftrightarrow \boxed{\lambda_i = k_i^2} \boxed{\sqrt{\lambda_i} = k_i} \\ \text{Randwerte für } b_i \text{ Ansatz: } A_i \sin(k_i 0) + B_i \cos(k_i 0) \\ b_i(0) = 0 = B_i \end{array}$$

$$b_i(L_i)=A_i\sin(k_iL_i)=0\Rightarrow \boxed{k_i=\frac{n\pi}{L_i}}, n\in\mathbb{N}$$
 Orthonormierung $\int\sin^2(u)du=\frac{1}{2}$

Ansatz:
$$1 = \int\limits_0^{L_i} b_i^2(x_i) dx_i \Rightarrow A_i = \sqrt{\frac{2}{L_i}}$$

einsetzen für
$$b$$
: $n=3$
$$\Rightarrow b_{n_1n_2n_3}(x_i) = \frac{\sqrt{2}^3}{\sqrt{L_1L_2L_3}} \prod_{i=1}^3 \sin\left(\frac{n_i-\pi}{L_i}x_i\right), n\in\mathbb{N}$$

einsetzen in $G(\vec{r}, \vec{r}')$: $G(\vec{r}, \vec{r}') = \sum_{n=0}^{\infty} b_n^*(\vec{r}') \frac{1}{\lambda_n} b_n(\vec{r})$

4.3. Orthogonalreihenentwicklung zu Laplace Beispiel: Randwerte überall 0, außer bei $\Phi(x_1, x_2, x_3 = L_3) =$

Ansatz:
$$-\frac{b_1''}{b_1} - \frac{b_2''}{b_2} - \frac{b_3''}{b_3} = 0$$

 $\Rightarrow \lambda_1 + \lambda_2 + \lambda_3 = 0$ mit hom. RW $\Leftrightarrow \lambda_3 = -(\lambda_1 + \lambda_2)$
 $k_3 = \sqrt{\lambda_3} = 1\beta$
 $b_{1,2,3}(0) \Rightarrow B_{1,2,3} = 0$
 $b_{1,2}(L_{1,2}) = 0 \Rightarrow K_{1,2} = \frac{n_{1,2}\pi}{L_{1,2}}$

$$\begin{split} &b_{1,2}(L_{1,2}) = 0 \Rightarrow K_{1,2} = \frac{1}{L_{1,2}} \\ &\Rightarrow b_{1,2}(x_{1,2}) = A_{1,2} \sin \left(n_{1,2} \frac{\pi}{L_{1,2}} x_{1,2} \right) \\ &\Rightarrow \lambda_3 = -(\lambda_1 + \lambda_2) = -\beta < 0, K_3 = \sqrt{\lambda_3} = \sqrt{-(\lambda_1 + \lambda_2)} \\ &b_3(x_3) = A_3 \sinh(\beta x_3) \ (j \text{ steckt in } A) \end{split}$$

$$b_3(x_3) = A_3 \sinh(\beta x_3) \ (j ext{ steckt in } A)$$

Ansatz für DGL: $b_{n_1,n_2}(\vec{r}) = A_{n_1} A_{n_2} A_3 \sin\left(\frac{n_1\pi}{L_1}x_1\right) \sin\left(\frac{n_2\pi}{L_2}x_2\right) \sinh(\beta x_3)$

Ersetzen von
$$A_{n_1}A_{n_2}A_{n_3}=A_{n_1n_2},$$
 da $A_3=$ const:
$$\Phi(\vec{r})=\sum_{n_1=1}^{\infty}\sum_{n_2=1}^{\infty}b_{n_1,n_2}(\vec{r})$$

$$\begin{array}{l} \Phi(x_1,x_2,x_3=L_3)=V(x,y)=\\ \sum\limits_{n_1=1}^{\infty}\sum\limits_{n_2=1}^{\infty}A_{n_1n_2}\sin\left(\frac{n_1\pi}{L_1}x_1\right)\sin\left(\frac{n_2\pi}{L_2}x_2\right)\sinh(\beta x_3) \end{array}$$

$$V(x) = \int_{0}^{L} \sin\left(\frac{2\pi}{L}x\right) dx = A_1 \int_{0}^{L} \sin\left(\frac{1\pi}{L}x\right) \sin\left(\frac{2\pi}{L}x\right) dx +$$

$$= L/2$$

$$A_2 \int_0^L \sin\left(\frac{2\pi}{L}x\right) \sin\left(\frac{2\pi}{L}x\right) dx + \dots, \text{ da Orthogonalitätsbed.}$$

$$V(x) = \int_{0}^{L} \sin\left(\frac{n\pi}{L}x\right) \sin\left(\frac{m\pi}{L}x\right) dx = \begin{cases} 0, & m \neq n \\ \frac{L}{2}, & m = n \end{cases}$$

$$\Rightarrow A_n = \frac{2}{L} \int_0^L V(x) \sin\left(\frac{n\pi}{L}x\right) dx$$

5. Kompaktmodelle

Modellierung als Netzwerk ohne Wellenausbreitung

1. Räumlich begrenzte Funktionsblöcke:

lokalisierte Schnittstellen (leitende Verbindungen, geführte elektromagnetische Felder)

2. Quasistationär zeitveränderlich:

Konzentriertheitshypothese: $\lambda >> d$.

Knoten: ideal leitend, überall gleiches Potential. Zweige: flusserhaltend, gerichtete Spannung.

$$\lambda = \frac{c_0}{f}$$

5.1. Kirchoffsche Gesetze

$$\sum U_i = U_{\text{ind}}$$

5.2. Kapazitive Speicherelemente Mehrelektroden Kondensatoranordnung –

→ Modellierung als Netzwerk von

 $\sum I_i = -\dot{Q}_K$

Plattenkondensator: $\vec{E} = \frac{Q}{\varepsilon_0 A} \vec{\mathrm{e}} \qquad U = \int_0^d \vec{E} \, \mathrm{d}\vec{r} = \frac{Q}{\varepsilon_0 A} d$

• Kapazitätsmatrix:
$$C_{kl} = \int\limits_{\Omega} \nabla \Phi_k \varepsilon \nabla \Phi_l \, \mathrm{d}^3 r = -\int\limits_{\partial \Omega_k} \varepsilon \vec{n} \nabla \Phi_l \, d\vec{a} \, \, (\mathsf{k},\mathsf{l} = \mathsf{0},\,...,\,\mathsf{N})$$

C symmetrisch, positiv semi-definit, nicht invertierbar, Zeilen- und

• Reduzierte Kapazitätsmatrix:

 $oldsymbol{C}_0: oldsymbol{C}$ um 0. Zeile und 0. Spalte abgeschnitten

$$\vec{U}_0 = \begin{bmatrix} V_1 - V_0 \\ \cdots \\ V_N - V_0 \end{bmatrix} \qquad \vec{Q}_0 = \vec{\boldsymbol{C}}_0 \vec{U}_0 \quad \vec{\boldsymbol{C}}_0 \text{ invertierbar}$$

5.3. Induktive Speicherelemente $u_k(t) = -u_{\text{ind }k}(t) + r_k i_k(t)$

Transformatorgleichung: $u_k(t) = r_k i_k(t) + \sum_{l=1}^{N} L_{kl} \frac{\mathrm{d}i_l}{\mathrm{d}t}$

Kopplungsinduktivität: $M = k\sqrt{L_1L_2}$

 $\Rightarrow U_1 = L_1 \dot{I}_1 + M \dot{I}_2 \qquad \dot{U}_2 = M \dot{I}_1 + L_2 \dot{I}_2$ Neumannsche Formel: $L_{\mathrm{kl}} = \frac{\mu}{4\pi} \int_{C_k} \int_{C_l} \frac{d\vec{s}' \cdot d\vec{s}}{|\vec{r} - \vec{r}'(s)|} = \frac{\partial^2 W_{\mathrm{mag}}}{\partial i_k \partial i_l}$

 $L_{\rm kl}: \begin{cases} {\rm Selbstinduktionskoeffizient}, \, k=l \\ {\rm Gegeninduktionskoeffizient}, \, k\neq l \end{cases}$

L symmetrisch, positiv definit

Kapazität $Q = \mathbf{C}U$ $W_{\text{el}} = \frac{1}{2}\vec{U}_0\vec{Q}_0 = \frac{1}{2}\vec{V}^T\mathbf{C}\vec{V}$

Induktivität $\vec{\Phi}_M = L\vec{i}$

$$W_{\text{mag}} = \frac{1}{2} \vec{I}^{\top} \mathbf{L} \vec{I}$$

$$W_{\text{mag}} = \frac{1}{2} \int_{\mathbb{R}^3} \vec{j} \cdot \vec{A} \, d^3$$

6. Komplexe Wechselstromrechnung

Vorraussetzung: lineares, eingeschwungenes System mit sinusförmiger Erregung $x(t) = A_m \cdot \cos(\omega t + \varphi)$ Beim Kondensator eilt der Strom vor.

6.1. Komplexe Zeigergrößen

Bei der Induktivität kommt der Strom zu spät.

Zeitfunktion	$a(t) = A_m \cdot \cos(\omega t + \varphi)$
Zeiger	$A = \alpha + i\beta = A_m \cdot e^{i\varphi}$
	$= A_m \cdot (\cos \varphi + j \sin \varphi)$
Maximum	$A_m = A = \sqrt{\alpha^2 + \beta^2} = \sqrt{AA^*}$
Phase	$\varphi = \begin{cases} \arctan \frac{\beta}{\alpha} & \alpha > 0\\ \arctan \frac{\beta}{\alpha} + \pi & \alpha < 0 \end{cases}$

 $\frac{d}{dt}e^{j(\omega t + \varphi)} = j\omega \cdot e^{j(\omega t + \varphi)}$ Differential operator: $\frac{d}{dt} = j\omega$

	Widerstand	Kondensator	Spule
Impedanz $Z=rac{U}{I}$	R	$\frac{1}{i\omega C}$	$j\omega L$
Admittanz $Y = \frac{I}{U}$	$G = \frac{1}{R}$	$rac{1}{j\omega C} \ j\omega C$	$\frac{1}{j\omega L}$
$\begin{array}{l} \Delta \varphi = \\ \varphi_u - \varphi_i \end{array}$	0	$-\frac{\pi}{2}$	$\frac{\pi}{2}$
$\varphi_u - \varphi_i$ Im $\int Z$			
$\tan(\Delta\varphi) = \frac{\operatorname{Im}\{Z\}}{\operatorname{Re}\{Z\}}$			

$oldsymbol{Z}(j\omega) = R(j\omega) + jX(j\omega)$ Impedanz Resistanz Reaktanz	$oldsymbol{U} = oldsymbol{Z} \cdot oldsymbol{I}$
$m{Y}(j\omega) = G(j\omega) + jB(j\omega)$ Admittanz Konduktanz Suszeptanz	$I = Y \cdot U$

6.2. Komplexe Leistungsrechnung

$$\begin{array}{ll} U_{\mathrm{eff}} = \frac{1}{\sqrt{2}} U_m = \sqrt{\frac{1}{T}} \int_0^T u(t)^2 \, \mathrm{d}t & I_{\mathrm{eff}} = \frac{1}{\sqrt{2}} I_m \\ \text{Momentanleistung: } p(t) = u(t) i(t) \\ \text{Energie einer Periode: } E = \int_0^T u(t) i(t) dt \\ \text{Leistungsmittelwert: } P_w = \frac{1}{T} \int_0^T u(t) i(t) dt \\ \text{Komplexe Leistung: } P = \frac{1}{2} U I^* = \frac{1}{2} U_m \cdot e^{j\varphi_u} \cdot I_m \cdot e^{-j\varphi_i} = U_{\mathrm{eff}} \cdot I_{\mathrm{eff}} \cdot e^{j(\varphi_u - \varphi_i)} \\ \text{Scheinleistung: } S = |P| \\ \text{Wirkleistung: } P_w = \mathrm{Re}\{P\} = \frac{1}{2} \hat{U} \hat{I} \cos \varphi \\ \text{Blindleistung: } P_B = \mathrm{Im}\{P\} = \frac{1}{2} \hat{U} \hat{I} \sin \varphi \end{array}$$

6.3. Grundlagen Wechselstromlehre

- Transformierbarkeit(Energieübertragung)
- Modulierbarkeit (Informations- und Nachrichtentechnik)
- Anpassung an Generatoren und Motoren

 $\varphi(t) = \omega t + \varphi_0$

7. Elektromagnetische Wellen

Transportieren Feldenergie mit Lichtgeschwindigkeit. $\varepsilon \mu c^2 = 1$ Unendliche Ausbreitung mit Lichtgeschwindigkeit ohne Medium. Wechselwirkung mit der Materie.

Frequenzabhängigkeit von $\varepsilon(\omega), \mu(\omega), \sigma(\omega)$

Annahmen: $\rho = 0$ außer bei Antennen, keine thermischer Strom.

7.1. Beschreibung

Dämpfung	$falls\ \sigma>0$
äußere Quellen	$ec{j}_0, ho_0$

6-Komponentiges, elektromagnetisches Wellenfeld:

$$\label{eq:energy_energy} \left[\varepsilon\mu\frac{\partial^2}{\partial t^2} + \mu\sigma\frac{\partial}{\partial t} - \Delta\right] \begin{pmatrix} \vec{E}\\ \vec{H} \end{pmatrix} = \begin{pmatrix} -\nabla\left(\frac{\rho_0}{\varepsilon}\right) - \dot{\mu}\dot{\vec{j}}_0\\ \mathrm{rot}\,\dot{\vec{j}}_0 \end{pmatrix}$$

Notwendig, aber nicht hinreichend für Maxwellsche Gleichungen. (Nebenbedingungen: $\varepsilon \operatorname{div} \vec{E} = \rho, \operatorname{div} \vec{H} = 0$)

4-Komponentiges, elektromagnetisches Potential (falls $\sigma = 0$):

$$\left(\Delta - \varepsilon \mu \frac{\partial^2}{\partial t^2}\right) \begin{pmatrix} \Phi \\ \vec{A} \end{pmatrix} = - \begin{pmatrix} \frac{\varrho}{\varepsilon} \\ \mu \vec{j} \end{pmatrix}$$

Als Nebenbedingung muss nur die Eichbedingung erfüllt sein.

homogene Wellengleichung: $\left(\frac{1}{c^2}\,rac{\mathrm{d}^2}{\mathrm{d}t^2}-\Delta
ight) ec{E}=0$

7.2. Eindimensionale Welle

Annahmen:
$$\sigma, \vec{j}_0, \rho_0 = 0 \Rightarrow \epsilon \mu \frac{\partial^2 u}{\partial t^2} - \frac{\partial^2 u}{\partial x^2} = 0$$

Ausbreitungsgeschwindigkeit: $c = \frac{1}{\sqrt{\epsilon \mu}}$
D'Alembertsche Lösung: $u(x,t) = f_1(ct-x) + f_2(ct+x)$

7.3. Dreidimensionale ebene Wellen

Annahhmen: σ , ρ_0 , $j_0 = 0$ Nebenbedingungen: $\operatorname{div} \vec{E} = \operatorname{div} \vec{H} = 0 \quad \operatorname{rot} \vec{E} = -\mu \frac{\partial \vec{H}}{\partial t}$

$$\begin{array}{|c|c|c|} \hline \vec{k}=k\vec{n},\omega=kc \end{array} \text{ Dabei muss gelten: } \frac{\omega}{|\vec{k}|}=c=\frac{1}{\sqrt{\epsilon\mu}}\\ \hline \vec{E}(t,\vec{r})=\vec{E}_0(\omega t-\vec{k}\cdot\vec{r}) \text{ mit } \vec{k}\cdot\vec{E}_0(.)=0\\ \hline \vec{E}_0(\vec{r},t)=\frac{\vec{k}}{\epsilon\omega}\times\vec{H}_0(\vec{r},t)=-Z\vec{n}\times\vec{H}_0(.)\\ \vec{H}(t,\vec{r})=\vec{H}_0(\omega t-\vec{k}\cdot\vec{r}) \text{ mit } \vec{k}\cdot\vec{H}_0(.)=0\\ \hline \vec{H}_0(\vec{r},t)=\frac{\vec{k}}{\mu\omega}\times\vec{E}_0(\vec{r},t)=\frac{\vec{n}}{Z}\times\vec{E}_0(.)\\ \hline \text{Dispersions relation: } \omega(\vec{k})=\frac{1}{\sqrt{\epsilon\mu}}\left|\vec{k}\right|\\ \hline \text{Wellenwider stand: } Z=\sqrt{\frac{\mu}{\epsilon}}=\frac{\left|\vec{E}_0\right|}{\left|\vec{H}_0\right|} \end{array}$$

7.3.1. Energie- und Leisungsbetrachtung
$$w_{\rm el}(t,\vec{r}) = w_{\rm mag}(t,\vec{r}) = \frac{\epsilon}{2} \vec{E}_0 (\omega t - \vec{k} \cdot \vec{r})^2 = \frac{\mu}{2} \vec{H}_0 (\omega t - \vec{k} \cdot \vec{r})^2$$
 Leistungsflussdichte: $\vec{S} = \frac{1}{Z} \vec{E}_0^2 \cdot \vec{n}$

Energiebilanz einer elektromagnetischen Welle: $\frac{\partial w_{\rm elmag}}{\partial t} + {\rm div}\, \vec{S} = 0.$

7.4. Harmonische ebene dreidimensionale Wellen 7.4.1. Linear polarisierte Wellen

$$\vec{E}(t, \vec{r}) = \vec{E}_0 \cos(\omega t - \vec{k} \cdot \vec{r} + \varphi)$$

$$\vec{H}(t, \vec{r}) = \vec{H}_0 \cos(\omega t - \vec{k} \cdot \vec{r} + \varphi)$$

7.4.2. Elliptisch polarisierte Wellen

 $\vec{E}(\vec{r},t) = E_{01}\cos(\omega t - \vec{k}\cdot\vec{r} + \varphi_1)\vec{e}_1 + E_{02}\cos(\omega t - \vec{k}\cdot\vec{r} + \varphi_2)\vec{e}_2$ Harmonische, ebene EM Wellen ($\sigma = 0$)

Ellipsengleichung:
$$\left(\frac{E_1}{E_{01}} \right)^2 + \left(\frac{E_2}{E_{02}} \right)^2 - 2 \left(\frac{E_1}{E_{02}} \right) \left(\frac{E_1}{E_{02}} \right) \cos(\varphi_{02} - \varphi_{01}) = \\ \sin^2(\varphi_{02} - \varphi_{01}) \\ \text{Linear: } \varphi_{02} - \varphi_{01} = n\pi \qquad \frac{E_1}{E_{01}} = \pm \frac{E_2}{E_{02}} \\ \text{Kreis: } \varphi_{02} - \varphi_{01} = (n + \frac{1}{2})\pi \quad \land \quad E_{01} = E_{02} \\ \left(\frac{E_1}{E_{01}} \right)^2 + \left(\frac{E_2}{E_{02}} \right)^2$$

7.4.3. Komplexe Darstellung

$$\vec{E}(t, \vec{r}) = \operatorname{Re} \left\{ \underbrace{\left(E_{01} e^{j\varphi_1} \vec{e}_1 + E_{02} e^{j\varphi_2} \vec{e}_2 \right)}_{\hat{E}_0} e^{j(\omega t - \vec{k} \cdot \vec{r})} \right\}$$

7.4.4. Darstellung beliebiger EM-Wellen durch harmonische ebene Wellen

Annahmen: $\varrho_0, j_0 = 0, \sigma \geq 0$ Materialgleichungen:

- $\vec{D}(\vec{k}) = \epsilon(\omega(\vec{k}))\vec{E}(\vec{k})$
- $\vec{B}(\vec{k}) = \mu(\omega(\vec{k}))\vec{H}(\vec{k})$
- $\vec{j}(\vec{k}) = \sigma(\omega(\vec{k}))\vec{E}(\vec{k})$

komplexe Permittivität: $\tilde{\varepsilon}(\omega) = \varepsilon(\omega) + i \frac{\sigma(\omega)}{\omega}$

komplexe Dispersionsrelation: $\omega(\vec{k})^2 = \frac{1}{\tilde{\epsilon}(\omega(\vec{k}))\mu(\omega(\vec{k}))}\vec{k}^2$

komplexer Wellenwiderstand: $\tilde{Z}(\omega) = \sqrt{\frac{\mu(\omega)}{\tilde{\varepsilon}(\omega)}} = \frac{\tilde{k}(\omega)}{\omega \tilde{\varepsilon}(\omega)}$ Fourierkoeffizienten der Feldgrößen:

- \bullet rot $\vec{E} = -\frac{\partial \vec{B}}{\partial t} \stackrel{FT}{=} -j\vec{k} \times \hat{\vec{E}}(\vec{k}) = -j\omega\mu(\omega)\hat{\vec{H}}(\vec{k})$, also $\vec{k} \times \hat{\vec{E}}(\vec{k}) = \omega(\vec{k})\mu(\omega(\vec{k}))\hat{\vec{H}}(\vec{k})$
- div $\vec{D} = 0 \stackrel{FT}{=} -i\vec{k} \cdot \varepsilon(\omega) \hat{\vec{E}}(\vec{k}) = 0$, also $\vec{k} \cdot \hat{\vec{E}}(\vec{k}) = 0$
- rot $\vec{H} = \vec{j} + \frac{\partial \vec{D}}{\partial t} \stackrel{FT}{=} \sigma(\omega) \hat{\vec{E}}(\vec{k}) + j\omega \varepsilon(\omega) \hat{\vec{E}}(\vec{k}) =$ $i\omega\tilde{\varepsilon}(\omega)\hat{\vec{E}}(\vec{k})$, also $-\vec{k}\times\hat{\vec{H}}(\vec{k})=\omega(\vec{k})\tilde{\varepsilon}(\omega(\vec{k}))\hat{\vec{E}}(\vec{k})$
- div $\vec{B} = 0 \stackrel{FT}{=} j\vec{k} \cdot \mu(\omega) \hat{\vec{H}}(\vec{k}) = 0$, also $\vec{k} \cdot \hat{\vec{H}}(\vec{k}) = 0$ inv. Dispersions relation: $\tilde{k}(\omega) = \sqrt{\tilde{\epsilon}(\omega)\mu(\omega)}$

7.4.5. Räumlich gedämpfte ebene EM-Welle in Leitern

$$\begin{array}{l} \dot{k}(\omega) = \beta(\omega) - 1 \quad \alpha(\omega) \\ \text{Phasenmaß} \quad 1 \quad \alpha(\omega) \\ \text{N\"aherung:} \ \sigma(\omega) \gg \omega \varepsilon(\omega) \\ \alpha(\omega) = \beta(\omega) = \sqrt{\frac{\sigma(\omega)\mu\omega}{2}} = \frac{2\pi}{\lambda} \\ \text{Eindringtiefe:} \ \Delta z(\omega) = \sqrt{\frac{\sigma(\omega)\mu\omega}{\sigma(\omega)\mu\omega}} \end{array}$$

Abklingverhältnis: $e^{-\lambda \alpha}$

Skin-Effekt: Abschirmverhalten von leitenden Medien gegen das Eindringen von EM-Wellen

7.5. Einfall ebener elektromagnetischer Wellen auf ebene Ma-

terialgrenzschichten Aufteilung der EM-Welle in reflektierenden und transmittierenden Anteil einfallend: $\vec{H}_h(\vec{r}) = \vec{H}_{h0} e^{-j\vec{k}_h \cdot \vec{r}}, \qquad \vec{E}_h = Z_1 \vec{H}_h \times e_{kh}$ reflektierend: $\vec{H}_r(\vec{r}) = \vec{H}_{\rm f0} {\rm e}^{-j \vec{k}_r \cdot \vec{r}}, \qquad \vec{E}_h = Z_1 \vec{H}_h \times {\rm e}_{\rm kh}$ transmittierend: $\vec{H}_D(\vec{r}) = \vec{H}_{D0} e^{-j\vec{k}_D \cdot \vec{r}}, \qquad \vec{E}_h = Z_2 \vec{H}_h \times e_{kh}$ Reflexionswinkel gleich Einfallswinkel: $\alpha_h = \alpha_r$ Brechungsgesetz (Snellius): $k_1 \sin \alpha_h = k_2 \sin \alpha_D$

$$(\vec{H}_h + \vec{H}_r) \times \vec{n} = \vec{H}_D \times \vec{n} \qquad (\vec{E}_h + \vec{E}_r) \times n = \vec{E}_D \times \vec{n}$$

E-Feld
$$\parallel$$
 Einfallsebene: Einfallende Welle nennt sich TM-Welle Reflexionskoeffizient: $r_{\parallel}=\frac{\dot{E}_{T}}{\dot{E}_{h}}=\frac{\dot{H}_{T}}{\dot{H}_{h}}=\frac{Z_{2}\cos\alpha_{D}-Z_{1}\cos\alpha_{h}}{Z_{2}\cos\alpha_{D}+Z_{1}\cos\alpha_{h}}$ Transmissionskoeffizient: $t_{H\parallel}=\frac{\dot{H}_{D}}{\dot{H}_{h}}=\frac{2Z_{1}\cos\alpha_{h}}{Z_{2}\cos\alpha_{D}+Z_{1}\cos\alpha_{h}}$

$$E_{\parallel} = \frac{E_D}{\hat{E}_b} = \frac{Z_2}{Z_1} t_H$$

$$t_{E\parallel} = \frac{\hat{E}_D}{\hat{E}_h} = \frac{Z_2}{Z_1} t_{H\parallel}$$
 E-Feld \perp Einfallsebene: Einfallende Welle nennt sich TE-Welle Reflexionskoeffizient: $r_{\perp} = \frac{\hat{E}_T}{\hat{E}_h} = \frac{\hat{H}_T}{\hat{H}_h} = \frac{Z_2 \cos \alpha_h - Z_1 \cos \alpha_D}{Z_2 \cos \alpha_h + Z_1 \cos \alpha_D}$ Transmissionskoeffizient: $t_{E\perp} = \frac{\hat{E}_D}{\hat{E}_h} = \frac{2Z_2 \cos \alpha_h}{Z_2 \cos \alpha_h + Z_1 \cos \alpha_D}$

Transmissionskoeffizient:
$$t_{E\perp}=\frac{\hat{E}_D}{\hat{E}_h}=\frac{2Z_2\cos\alpha_h}{Z_2\cos\alpha_h+Z_1\cos\alpha_D}$$

$$t_{H\perp} = \frac{\hat{H}_D}{\hat{H}_h} = \frac{Z_1}{Z_2} t_{E\perp}$$

7.6. Abstrahlung von EM-Wellen im freien Raum

- Maxwellsche Gleichungen in zeitnarmonische rot $\vec{E} = -1\omega \vec{B} = -1\omega \mu_0 \vec{H}$ rot $\vec{H} = 1\omega \vec{D} + \vec{j}_0 = 1\omega \varepsilon_0 \vec{E} + \vec{j}_0$ div $\vec{E} = \frac{1}{\epsilon_0}$ div $\vec{D} = \frac{\varrho_0}{\varepsilon_0}$ div $\vec{H} = \frac{1}{\mu_0}$ div $\vec{B} = 0$

Helmholtz-Gleichung: $\Delta \vec{A} + \omega \epsilon_0 \mu_0 \vec{A} = -\mu_0 \vec{j}_0$

Vereinfachung durch eingeprägte Dirac-Impuls Stromdichte der Form: $\vec{J}_0^D(\vec{r})=\hat{I}_0\Delta l\vec{e}_z\delta(\vec{r})$

 \Rightarrow Hertzscher-Dipol mit Dipolmoment $I_0 \Delta l$ mit $\vec{A}(\vec{r}) =$ $\hat{I}_0 \Delta l \mu_0 \frac{\mathrm{e}^{-\mathrm{J} k_0 r}}{4\pi r} \vec{\mathrm{e}}_z$

7.7. Elektromagnetische Wellenleiter Alle Verbindungen zwischen elektrischen und elektronischen Bauteilen oder Systemen sind Wellenleiter (bei niedrigen Frequenzen vernachlässigbar). Wellenausbreitungseffekte ab $\frac{1}{10}\lambda \rightarrow \text{Vermeidung von Reflexionen und}$ Mehrwegeausbreitungseffekter

Translationsinvarianz des Wellenleiters in z-Richtung → Feldtypen der

Form:

$$\vec{E}(x, y, z) = \vec{E}_0(x, y)e^{\pm \gamma}$$
$$\vec{H}(x, y, z) = \vec{H}_0(x, y)e^{\pm \gamma}$$

 $\gamma=\mathrm{j}\beta$: verlustloser Wellenleiter

 $\gamma = \alpha$: Dämpfungstypen (evaneszente Moden)

Wellentypen können eine untere Grenzfrequenz aufweisen, ab der sie ausbreitungsfähig sind

Existiert unterhalb einer bestimmten Grenzfrequenz noch eine einziger Wellentyp \Rightarrow Grundmode / Fundamentalmode (i.d.R. bei Leitungen

Koaxialleitung:

$$\begin{split} \vec{E}(\vec{r}) &= \frac{\hat{U}_0}{\ln\left(\frac{D}{d}\right)} \frac{1}{r} \vec{e}_r \mathrm{e}^{-\mathrm{J}kz} \\ \vec{H}(\vec{r}) &= \frac{\hat{I}_0}{\ln\left(\frac{D}{d}\right)} \frac{1}{r} \vec{e}_\varphi \mathrm{e}^{-\mathrm{J}kz} \\ \\ \frac{\hat{U}_0}{\hat{I}_0} &= Z_L = 60\Omega \sqrt{\frac{\mu_r}{\varepsilon_r}} \ln\left(\frac{D}{d}\right) \end{split}$$

mit D: Innendurchmesser, d: Außendurchmesser

Rechteckhohlleiter

$$\begin{split} H_z(\vec{r}) &= -\hat{H}_0 \cos \left(\frac{\pi}{a}x\right) \mathrm{e}^{-\mathrm{J}\beta z}) \\ H_x(\vec{r}) &= -\mathrm{J}\frac{\beta}{\beta_c} \frac{\pi}{a} \hat{H}_0 \sin \left(\frac{\pi}{a}x\right) \mathrm{e}^{-\mathrm{J}\beta z} \\ H_y(\vec{r}) &= 0 \qquad E_x(\vec{r}) = 0 \\ E_y(\vec{r}) &= \mathrm{J}\frac{\omega \mu}{\beta_c} \frac{\pi}{a} \hat{H}_0 \sin \left(\frac{\pi}{a}x\right) \mathrm{e}^{-\mathrm{J}\beta z} \end{split}$$

mit $\beta_c = \omega_c \sqrt{\varepsilon \mu} = \frac{2\pi}{\lambda_c}$: Cut-off-Wellenzahl, ω_c : Cut-off-Kreisfrequenz, $\lambda_c = 2a$: Cut-off-Wellenlänge

Ausbreitungsfähig für Kreisfrequenzen oberhalb von Ausbreitungskonstante: $\beta = \sqrt{\omega^2 \varepsilon \mu - \beta_c^2}$

statisch: Keine Veränderung über die Zeit $\frac{\partial}{\partial t}=0$ stationär: zeitliche Veränderung, aber keine Wellenausbreitung

Quasi-Stationär: Zeitliche Veränderungen sind so langsam, dass sie als

statisch angenommen werden $\frac{\partial}{\partial t} \approx 0$ Normalgebiet: zusammenhängend, beschränkt, mit glattem lipschitstetigem Rand

Lipschitstetig: irgendwas zwischen stetig und differenzierbar

 $\mathcal{L}_2(\Omega) = \{ f : \Omega \to \mathbb{C} \mid \int_{\mathbb{R}^n} |f(\vec{r})|^2 d^3 \vec{r} < \infty \}$